#### 5ème Ecole d'automne du GDR MBS

### Eco-conception des matériaux biosourcés et géosourcés : de la ressource à la fin de vie

12 au 16 octobre 2025, Douai



Du mortier romain à la conception de bétons végétaux : compréhension des mécanismes de durcissement

Morgan CHABANNES Enseignant-Chercheur – IMT Nord Europe

morgan.chabannes@imt-nord-europe.fr















#### **Sommaire**

- ❖ Pourquoi s'intéresser au mortier romain pour les bétons bio-sourcés ?
- Les différents types de chaux et mécanismes de durcissement associés
- ❖ De la définition du terme « pouzzolane » Focus sur les matériaux pyroclastiques du Velay
- ❖ Le système pouzzolane—chaux—eau : caractérisation de la cinétique de durcissement et enjeux scientifiques avec les granulats biosourcés





#### Contexte environnemental

Chaux (Différents types de chaux existent)

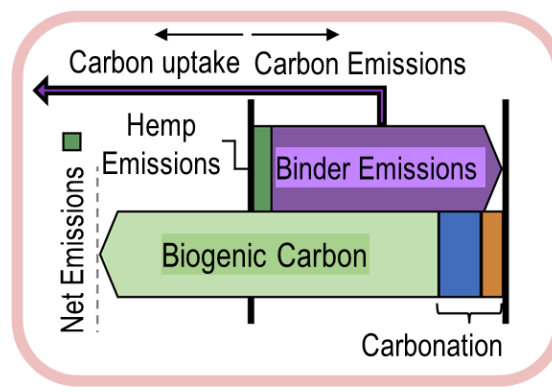


Ciment Souvent présent dans les liants commerciaux

Chaux formulée FL (NF EN 459-1) : chaux calcique CL (hydratée) combinée avec d'autres liants i.e. NHL, CEM I ou composé, additions pouzzolaniques, filler calcaire, laitier granulé de haut fourneau

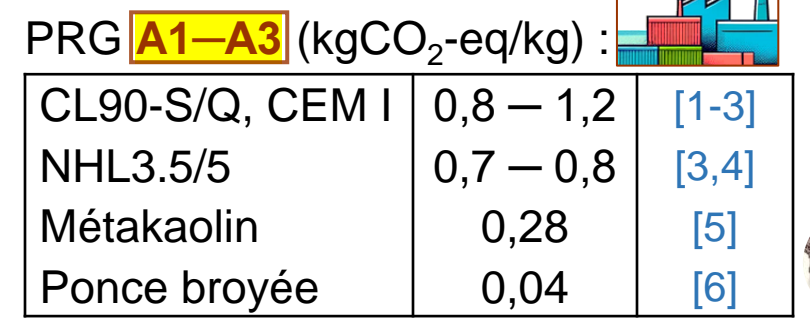
#### Granulat végétal

- Chènevotte de chanvre
- Anas de lin (contexte régional)
- Balles de riz
- Etc.
- [1] PAO George et al., J. Clean. Prod., 18, 1171-1176, 2010
- [2] Adbri Lime Products EPD (Australia)
- [3] J. Diaz-Basteris et al., Constr. Build. Mater., 326, 126863, 2022
- [4] Jones & Hammond, Inventory of Carbon & Energy V3.0 Beta
- [5] Cradle-to-gate Ecoprofile data sheet of Argical M1000 (Imerys, France)
- [6] Cabrera-Luna et al., Cement Concr. Compos., 124, 104236, 2021
- [7] J. H. Arehart et al., J. Clean. Prod., 266, 121846, 2020



[7] J. H. Arehart et al., 2020

Exemple : FL A  $40 \le \%_m Ca(OH)_2 < 80$ 

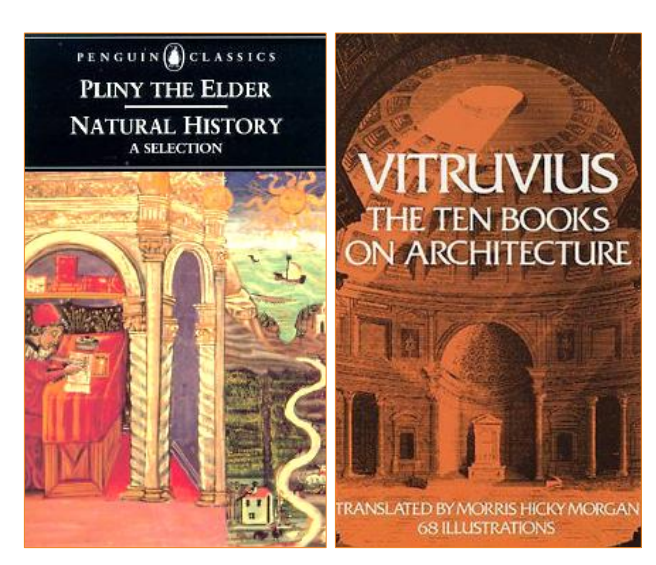








### Le « béton romain »





Dépôts pyroclastiques faiblement consolidés (cendres, lapilli, scories) Adapté de [8] Seymour et al., Sci. Adv. 9, 2023 Volcanic Ash Sand Eau de mer Chaux vive Water en fragments Aggregate (tephra)

« Pouzzolanes »

Matériaux divers et complexes (faciès minéralogique, géochimie, texture pétrographique)

Tuf volcanique qui a pu être exploité historiquement pour la pierre de construction (pierre de pouzzolane)

- Souvent de nature basaltique dans la région du Massif Central
- ➤ Vitruve (Pozzuoli, Italie) → cinérites trachytiques altérées en tuf zéolitique dénommé « tuf jaune napolitain »

Cathédrale romane du Puy-en-Velay — 43 (UNESCO)





### Le « béton romain »

- Ratio massique chaux/pouzzolane = 1/2 à 1/4 (soit 20 à 33%) de chaux)

  [9] Jackson et al., American Mineralogist 98, 2013
  - L'addition de petites quantités de matériaux pouzzolaniques aux chaux et ciments n'est pas toujours très rationnelle
  - Des proportions importantes permettent d'exploiter au mieux les propriétés et avantages de la pouzzolane
- Points faisant l'objet de controverses et de différences d'interprétation des traités antiques d'architecture (comme De Architectura, Vitruve, le siècle av. J.-C.) :
  - Le gâchage dans l'eau de mer

[10] L. Vicat, Nouvelles études sur les pouzzolanes artificielles comparées à la pouzzolane d'Italie dans leur emploi en eau douce et en eau de mer, 1846

Le process d'hydratation de la chaux vive

Wet lime putty VS. Hot mixed



méthode traditionnelle : la chaux vive s'hydrate directement mélangée avec le sable et la pouzzolane sans excès d'eau







### Bétons biosourcés et bâti ancien

20–30 av. J.-C











Néolithique

Période Gréco-Romaine [...]

« Bâti ancien »

1948

Reconstruction

RT 1974

**RE 2020** 

 $\sim$  7000 av. J.-C.



Çatal Höyük (Anatolie centrale)



- Terre cuite
- Pierre naturelle
- Torchis, Pisé
- Murs à pans de bois
- Chaux

Préfabrication lourde Corps en béton de pouzzolane (caverneux)

- Confort d'été (surchauffe)
- Impact CO<sub>2</sub> des matériaux



- Parois perspirantes
- Forte inertie thermique
- « Paroi froide »



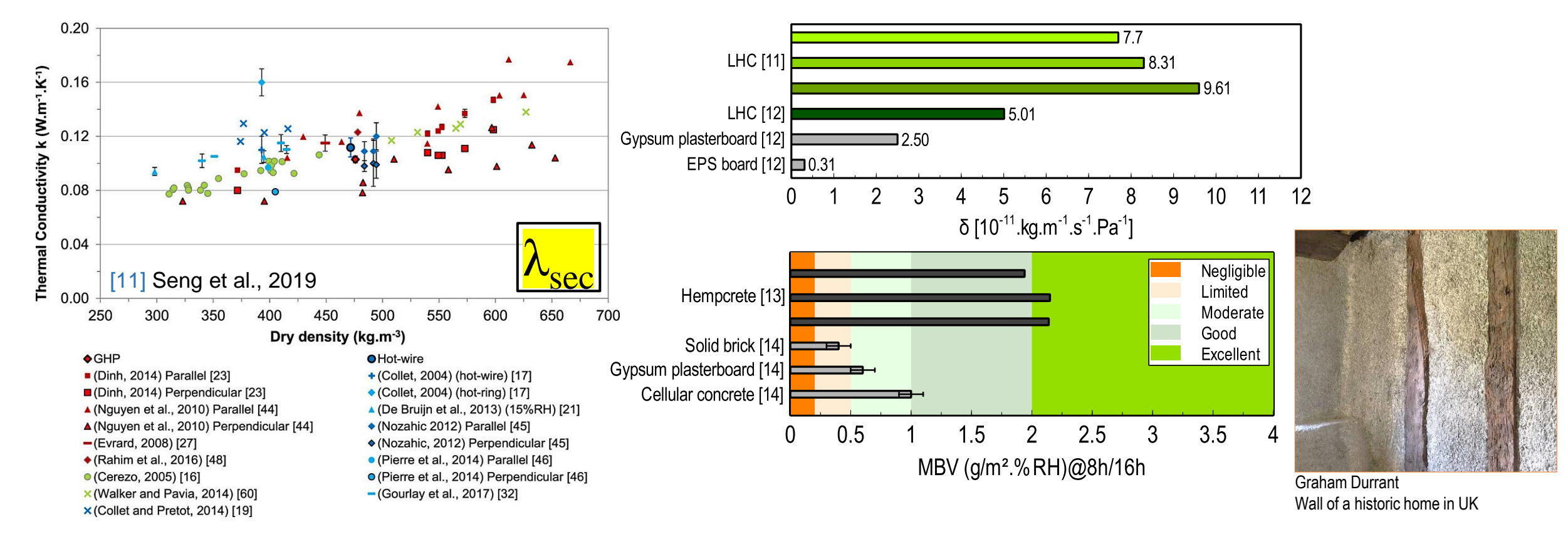
- Bétons végétaux (bétons de chanvre)
- Terre, chaux ou plâtre avec liège, pouzzolane, argile expansée







### Bétons biosourcés et bâti ancien



- [11] Seng et al., Characterization of a precast hemp concrete. Part I: Physical and thermal properties. Journal of Building Engineering 24, 2019, 100540
- [12] Pietrak et al., Magnesium-hemp concrete is less vapor-permeable than lime-hemp concrete while the cup method is still problematic. Building and Environment 280, 2025, 113112
- [13] Collet et al., Comparison of the hygric behaviour of three hemp concretes. Energy and buildings 62, 2013, 294-303
- [14] Rode et al., Moisture Buffering of building materials. Technical University of Denmark, BYG Report No. R-127, 2005



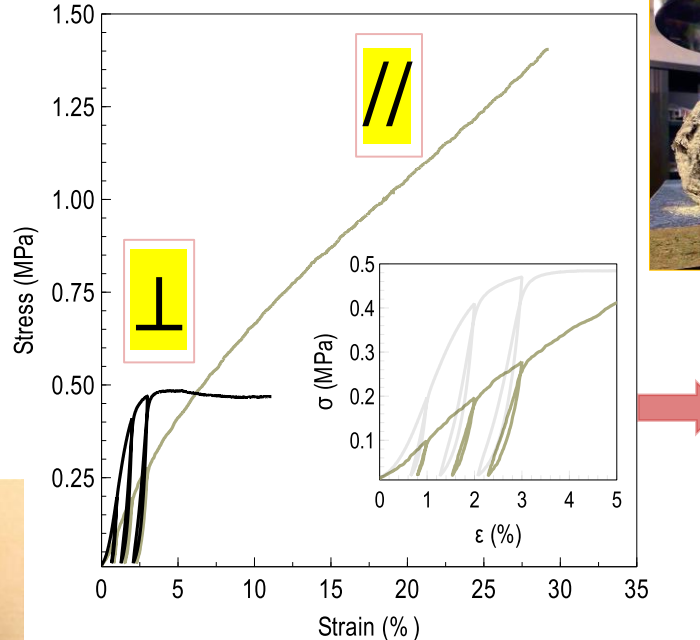


### Bétons biosourcés et bâti ancien

Réhabilitation thermique

- > En neuf: R ≥ 5 m<sup>2</sup>.K.W<sup>-1</sup>
- ➤ Plus adapté à l'existant
- Conservation de l'inertie thermique (densité)
- Effusivité thermique (effet « paroi tiède »)
- Préservation de l'expression architecturale (correction thermique intérieure)
- Perspirance (tampon hydrique)

Comportement mécanique





Performances mécaniques applicatives aléatoires

- Compacité
- Conditions de cure
- Couple liant–végétal
- Fraction minérale

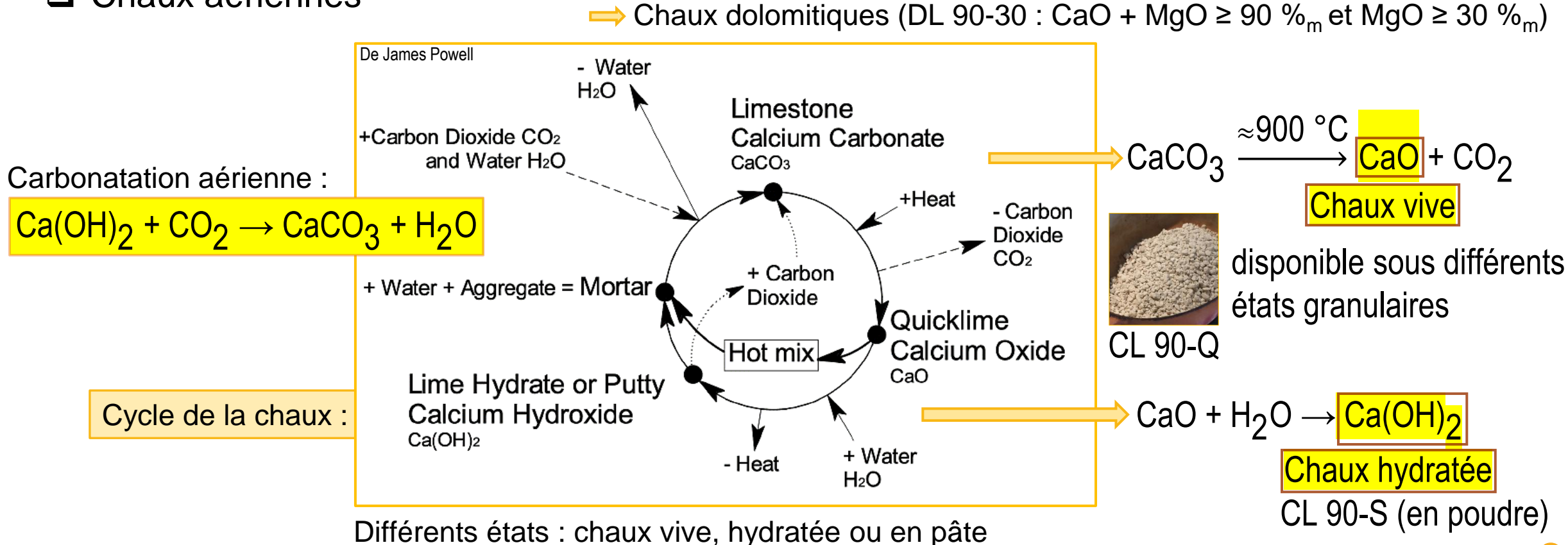




Chaux aériennes

⇒ Chaux calciques (CL 90 : CaO + MgO ≥ 90 %<sub>m</sub>)

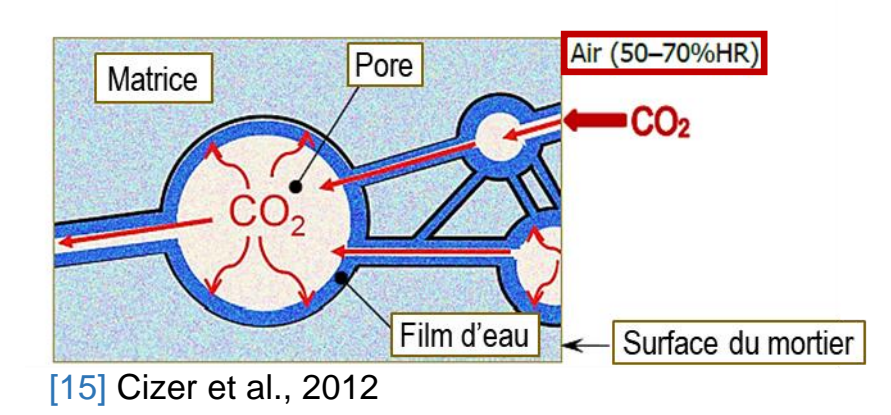
→ Chaux dolomitiques (DL 90-30 : CaO + MgO ≥ 90 %<sub>m</sub> et MgO ≥ 30 %<sub>m</sub>)







- Durcissement par séchage et carbonatation
- Mécanisme réactionnel



(1) 
$$Ca(OH)_2 \leftrightarrow Ca^{2+} + 2OH^-$$

(2) 
$$H_2CO_3 \leftrightarrow H^+ + HCO_3^-$$

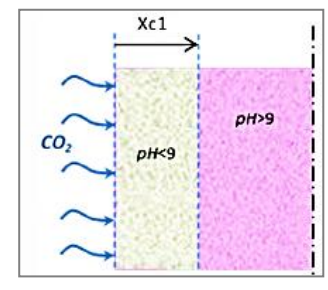
(3) 
$$\operatorname{Ca}^{2+} + \operatorname{CO}_3^{2-} \to \operatorname{CaCO}_3 \downarrow$$

$$(0) \quad Ca \rightarrow CaCO3\downarrow$$

(4) 
$$| Ca(OH)_2(s) + CO_2(g) \rightarrow CaCO_3(s) + H_2O(aq) + 74 \text{ kJ/mol}$$

- Caractérisation de la cinétique de carbonatation
- Indicateur coloré (phénolphtaléine) : obtenir des indications sur la progression du front de carbonatation

- Suivi massique : 
$$CR (\%) = \frac{\Delta M/Ca(OH)_2(\%)}{35.1} \times 100$$



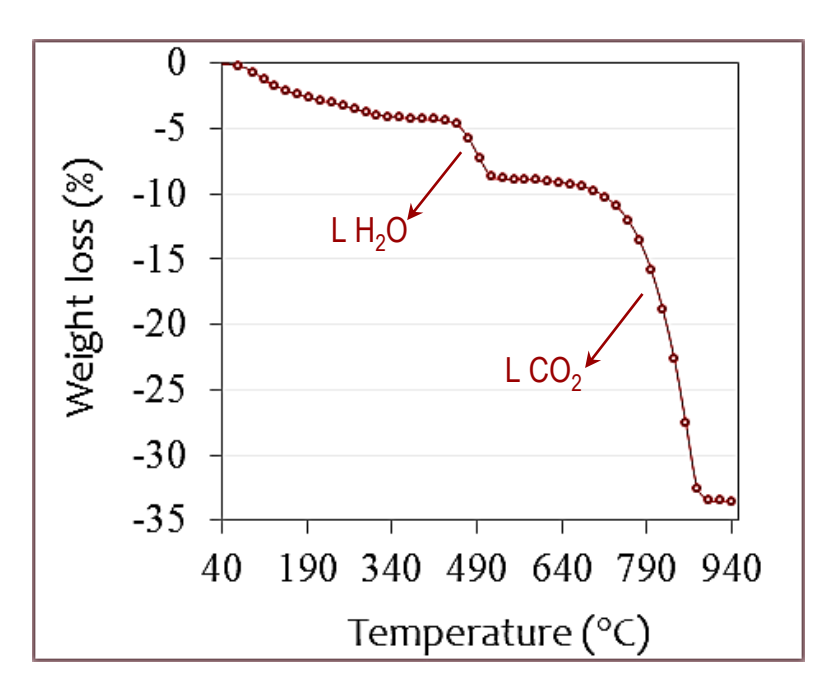
 $CO_2 + H_2O \leftrightarrow H_2CO_3$ 

 $HCO_3^- \leftrightarrow H^+ + CO_3^{2-}$ 



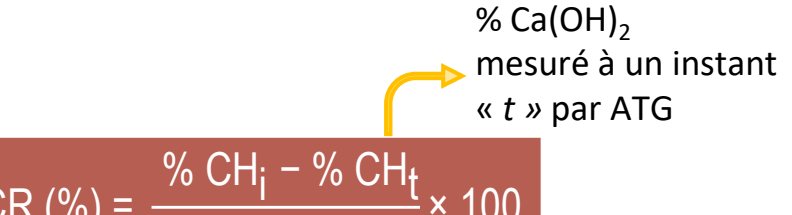


#### - Thermogravimétrie (ATG)

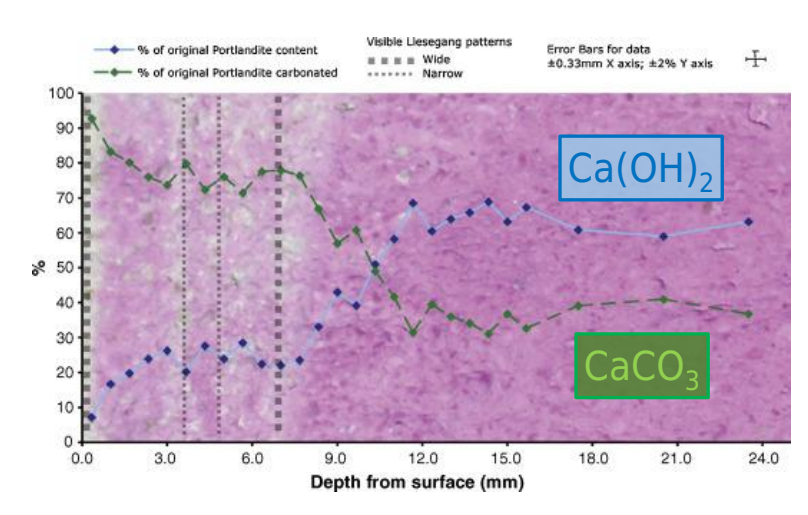


$$Ca(OH)_2$$
 (%) = L  $H_2O$  (%) ×  $k_1$   
 $CaCO_3$  (%) = L  $CO_2$  (%) ×  $k_2$ 

$$k_1 = M_W [Ca(OH)_2] / M_W [H_2O]$$
  
 $k_2 = M_W [CaCO_3] / M_W [CO_2]$ 



Quantité initiale de Ca(OH)<sub>2</sub>

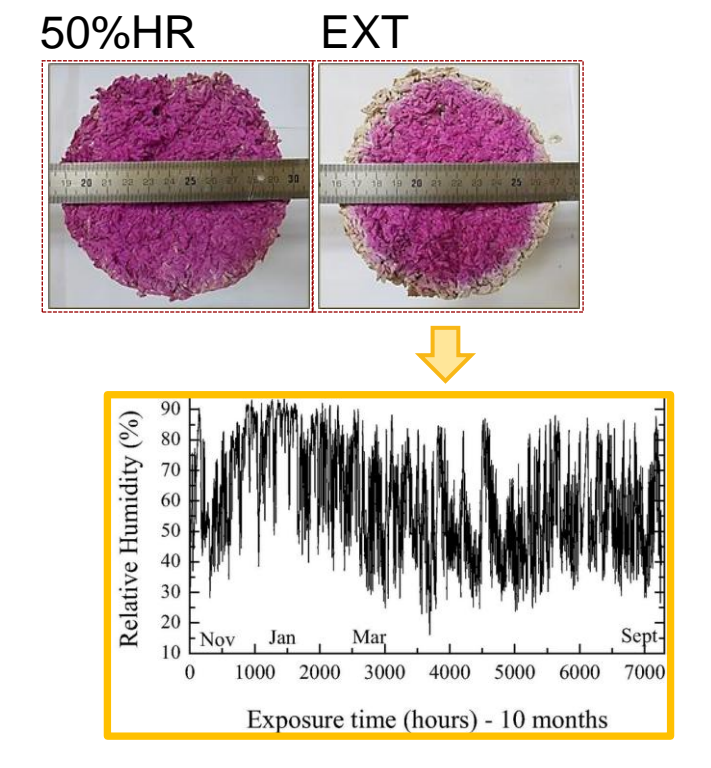


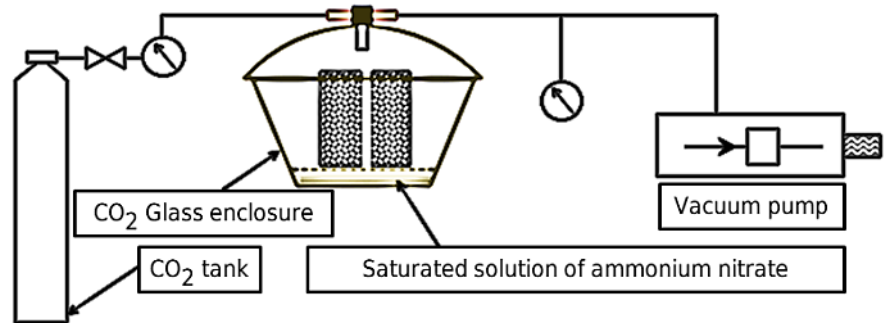
[16] Lawrence et al., 2006

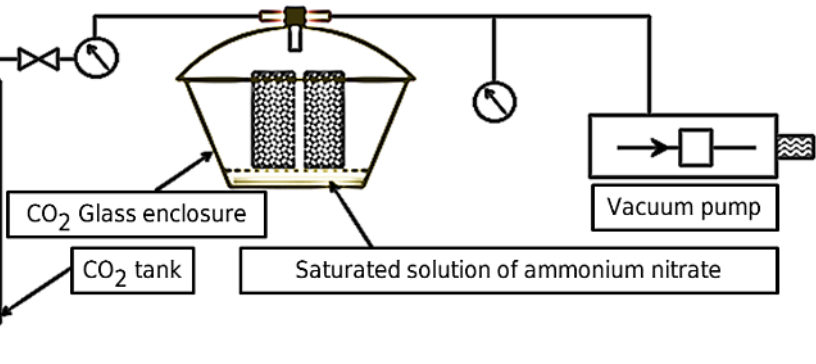


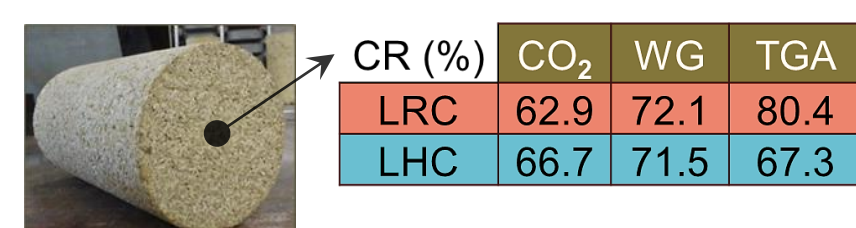


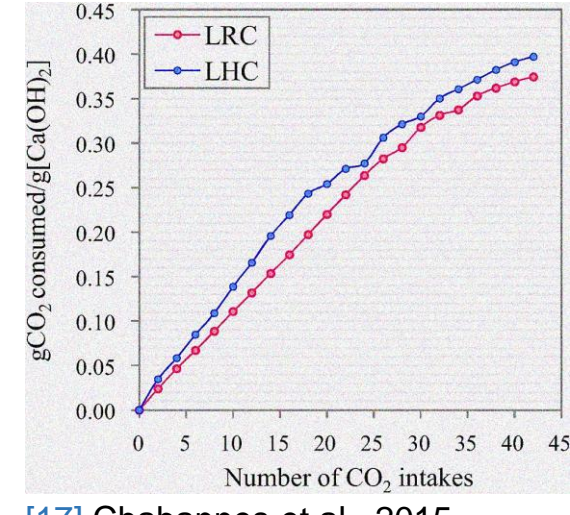
- Cas de la carbonatation accélérée cyclique











[17] Chabannes et al., 2015



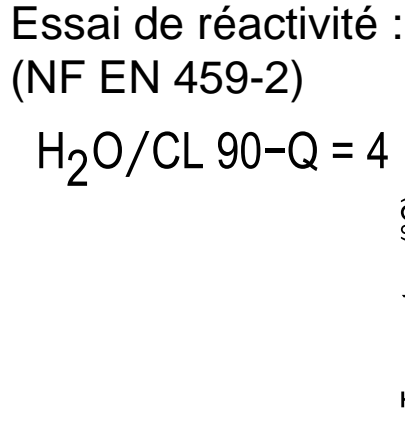


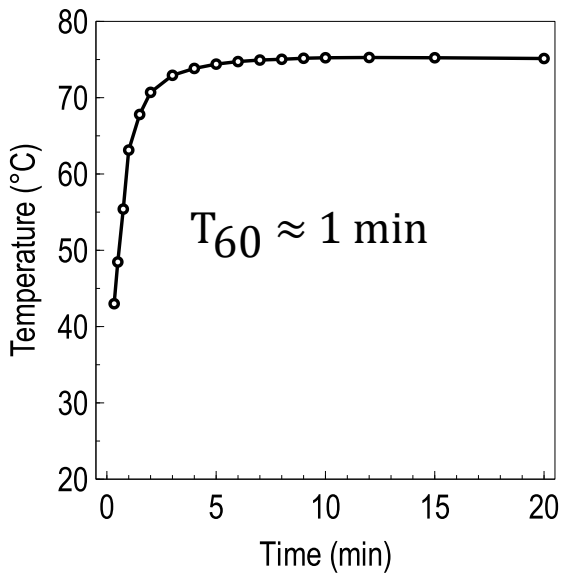


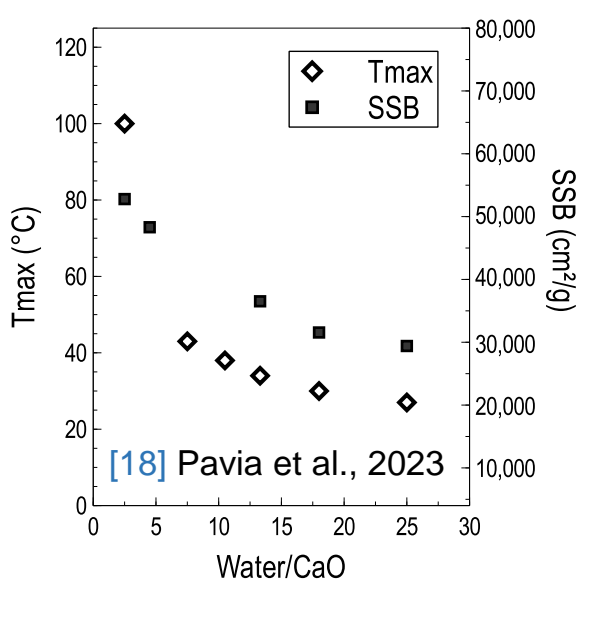
Quelques éléments à propos de l'hydratation de la chaux vive

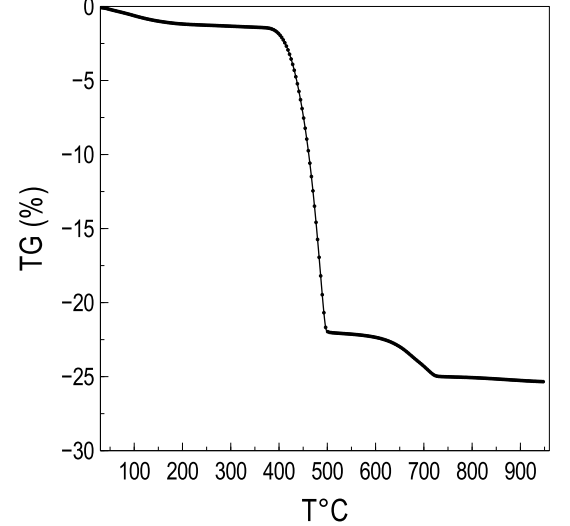
CaO + H<sub>2</sub>O 
$$\rightarrow$$
 Ca(OH)<sub>2</sub> + chaleur ( $\triangle$ H = -65,2 kJ.mol<sup>-1</sup>) $\Longrightarrow$  1kg (CaO) + 0,32 kg (H<sub>2</sub>O)  $\rightarrow$  1,32 kg (Ca(OH)<sub>2</sub>)

 $\begin{array}{c|c} & g.cm^{-3} \\ \hline CaO & \approx 3,3 \\ \hline Ca(OH)_2 \approx 2,2 \end{array}$ 













- ☐ Chaux ayant des propriétés hydrauliques
- ⇒ Chaux formulées (FL)
- → Chaux hydraulique naturelle (NHL)

19ème siècle : émulation pour remplacer les mélanges chaux—pouzzolane de l'époque Romaine Redécouverte de l'hydraulicité dans un contexte de renouveau scientifique et technique 1817-18 : Vicat définit l'indice d'hydraulicité et publie ses travaux sur les propriétés hydrauliques de la chaux → Ouvre la voie au ciment Portland

NHL produite par calcination de calcaires plus ou moins argileux/siliceux

$$\label{eq:indiced} \text{Indice d'hydraulicit\'e}: \quad \text{i} = \frac{\text{m(SiO}_2) + \text{m(Al}_2\text{O}_3) + \text{m(Fe}_2\text{O}_3)}{\text{m(CaO)} + \text{m(MgO)}} \cong \frac{\text{m(SiO}_2)}{\text{m(CaO)}}$$





Une partie du CaO se combine avec la silice réactive à  $\approx$  1200 °C :

$$2\text{CaCO}_3 + \text{SiO}_2 \rightarrow \underbrace{(2\text{CaO} \cdot \text{SiO}_2)} + 2\text{CO}_2$$

$$\text{CaO} + \text{H}_2\text{O} \rightarrow \text{Ca}(\text{OH})_2$$

$$\text{CaO} + \text{CaO}_2 \rightarrow \text{Ca}(\text{OH})_2$$

	Chimique		Minéralogique	
•	% CaO	50 - 70	% Ca(OH) <sub>2</sub>	30 - 50
	% SiO <sub>2</sub>	6 - 20	% C <sub>2</sub> S	20 - 40
	LOI (%)	15 — 20	% CaCO <sub>3</sub>	5 <b>—</b> 20

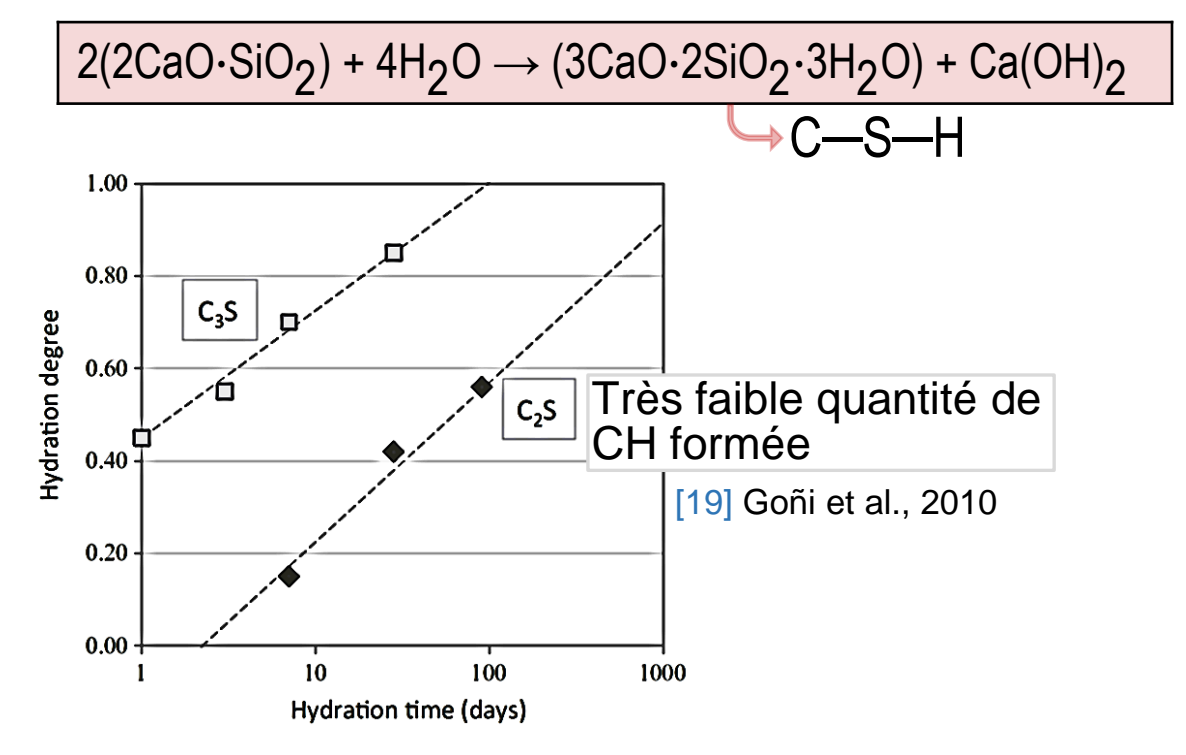
Oxydes d'aluminium et de fer en très petites proportions  $\rightarrow$  C<sub>3</sub>A, C<sub>4</sub>AF

CL 90 $\geq 80$ s/oNHL 2 $\geq 35$ $\geq 2$ NHL 3,5 $\geq 25$ $\geq 3,5$ NHL 5 $\geq 15$ $\geq 5$ Solution of the content of the conten		% Ca(OH) <sub>2</sub>	R <sub>C – 28jours</sub> min (MPa)	
NHL 3,5 $\geq 25$ $\geq 3,5$	CL 90	≥ 80	s/o	65 % HR ⇒ Carbonatation aérienne
> 00 % HP -> Price hydraulique (hydratation du C S)	NHL 2	≥ 35	≥ 2	
NHL 5 $\geq 15$ $\geq 5$ $\geq 5$ Prise hydraulique (hydratation du $C_2S$ )	NHL 3,5	≥ 25	≥ 3,5	
	NHL 5	≥ 15	≥ 5	$>$ 90 % HR $\Rightarrow$ Prise hydraulique (hydratation du $C_2S$ )

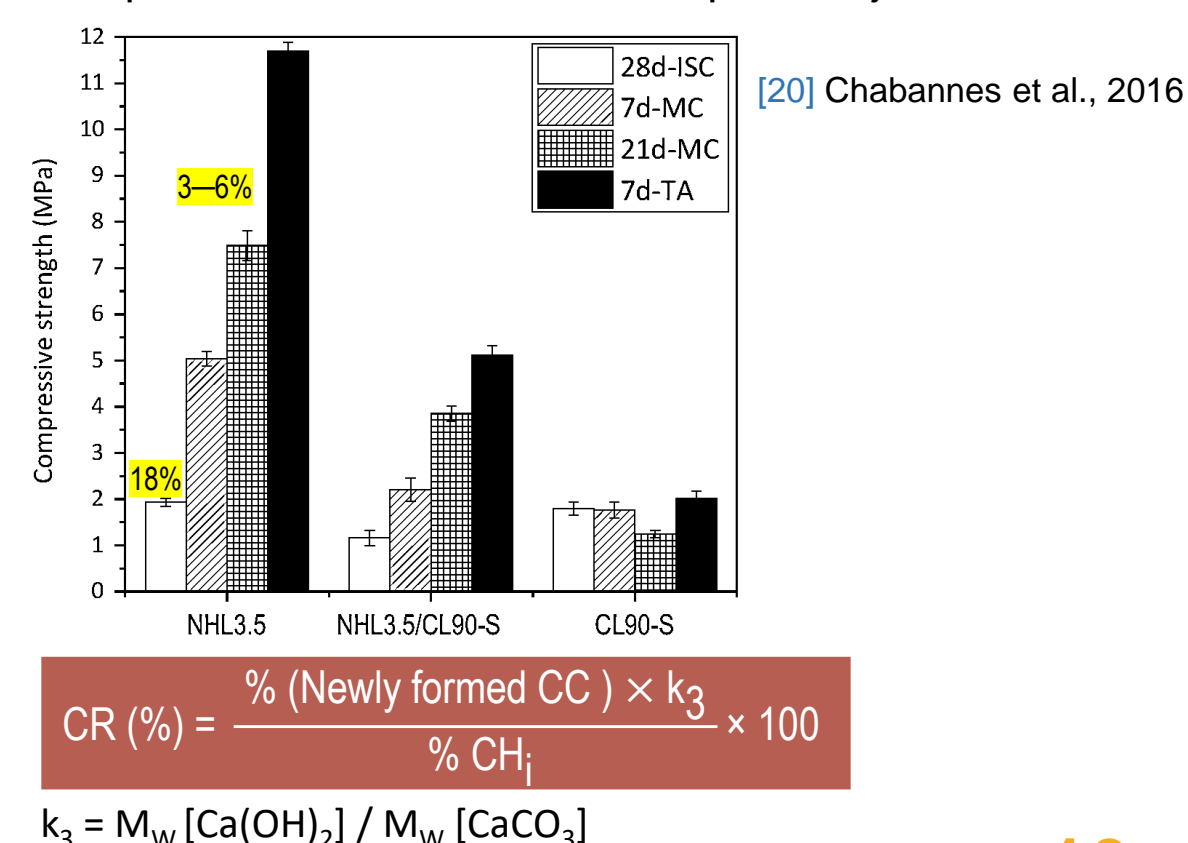




- Durcissement par hydratation et carbonatation
- Réaction d'hydratation du C<sub>2</sub>S :



#### R-compression mortiers de chaux après 28 jours de cure :



[19] Goñi et al., Quantitative study of hydration of  $C_2S$  and  $C_3S$  by thermal analysis. J. Therm. Anal. Calorim 102(3), 965-973, 2010

[20] Chabannes et al., Effect of curing conditions and Ca(OH)<sub>2</sub>-treated aggregates on mechanical properties of rice husk and hemp concretes using a lime-based binder. Constr. Build. Mater. 102(1),821-833, 2016

5ème école d'automne du GDR MBS – M. CHABANNES





#### Définition

- Historique : cendres trachytiques altérées en tufs zéolitiques (« Pouzzoles »)
- Géologique : par extension dans le langage courant, l'ensemble des projections volcaniques dépôts pyroclastiques ou pyroclastites analogues à celles de Pouzzoles mais pouvant présenter différentes lithologies et généralement de faible granulométrie
- → Dépôts pyroclastiques faiblement consolidés : bombes (>64mm), lapilli (2—64mm), scories fines/cendres (<2mm)</p>
- → Induration dans le temps (gravité, cimentation par précipitation de minéraux secondaires, altération hydrothermale)
  - Tufs lithifiés
  - Brèches agglomérées
  - Conglomérats de lapilli
  - Cinérites



Dépôts pyroclastiques consolidés (tufs)

Crédit photo : Yvan Lemeur Marais de Limagne (Devès)



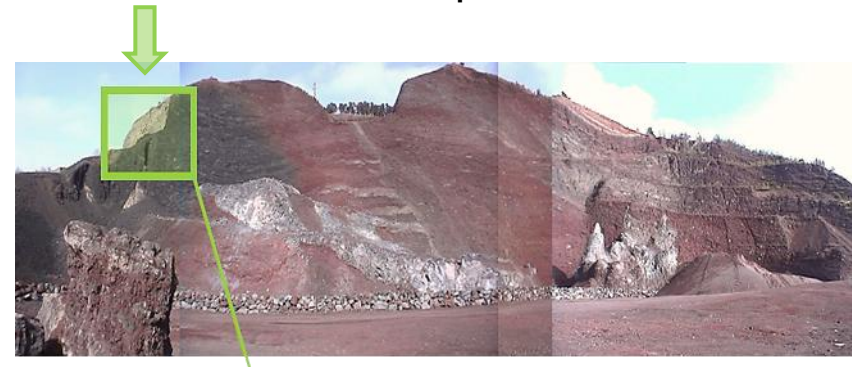


→ Phénomènes post-éruptifs précoces liés à des altérations ou soudures rapides

Ex : Ancienne carrière du Mont Denise (Devès) :

Partie centrale = Cône de scories autour du cratère → édifice volcanique strombolien avec faciès cœur de cône (rouge) et bas de cône (noir)

Les scories peuvent recouvrir des coulées de lave basaltique solidifiée (éruption effusive)



Tuf à palagonite = altération du verre volcanique basaltique (interaction eau-magma)

Volcanisme de type Surtseyens (explosif)

 Les ignimbrites : formées par induration thermique/soudure à chaud (fusion partielle des fragments) → présentes principalement au niveau du Mont-Dore, quasi-absentes dans la plupart des autres provinces volcaniques du Massif Central



Nappe de ponce Photo R. Cadiou





- L'ensemble de ces formations pyroclastiques constitue les pouzzolanes naturelles
  - → Entité géologique
- « Matériau pouzzolanique » (ASTM C125-07 ou C618) : englobe les pouzzolanes dites artificielles

Tout matériau siliceux ou silico-alumineux, naturel ou artificiel, qui ne possède pas lui-même de propriétés hydrauliques, mais qui, sous forme finement divisée et en présence d'eau, est capable de fixer la chaux à température ordinaire pour former des hydrates générateurs de résistance

[21] Baudry & Camus, 1980

- ⇒ Entité physico-chimique
- ☐ Les pouzzolanes naturelles



Empire Romain (sous Auguste)



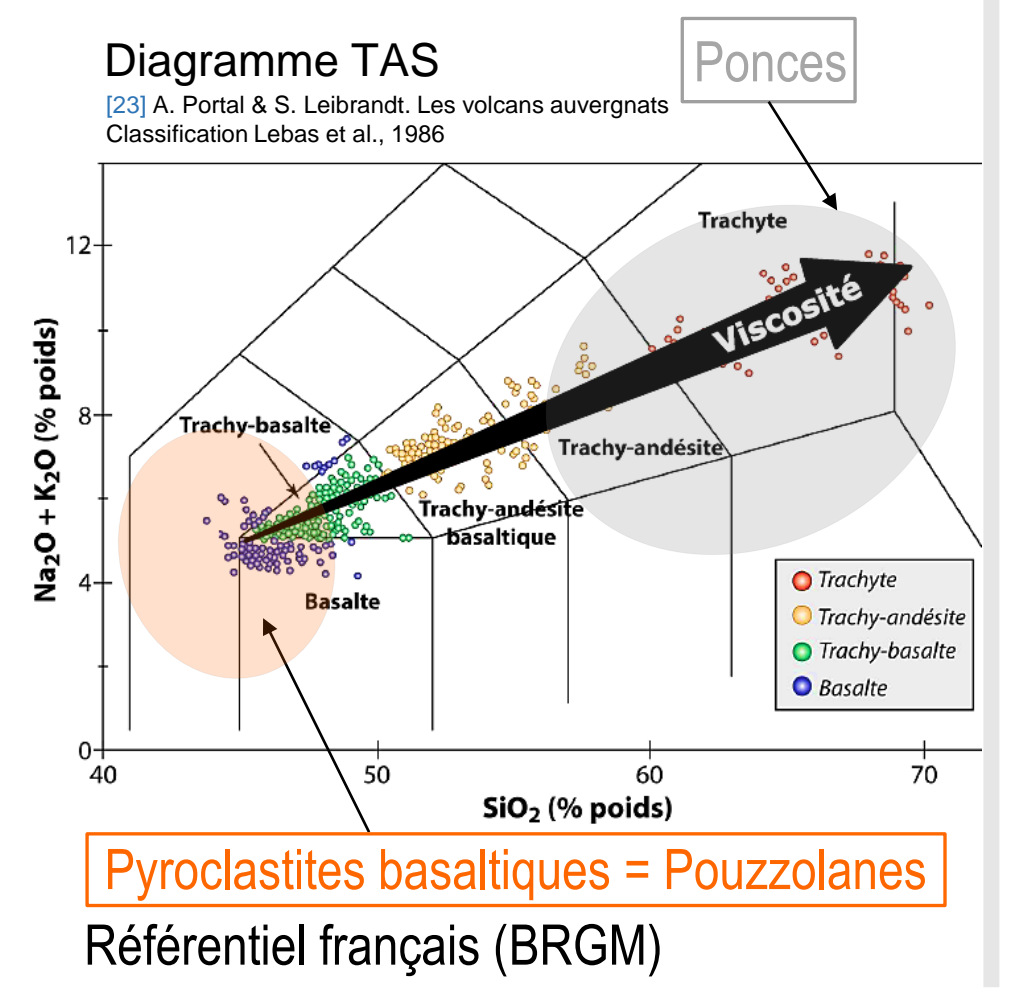


Provinces volcaniques du Massif Central Gisements de pouzzolane (••••): ponces Principales provinces et ages du volcanisme alcalin du Massif 100 km Central Français (Ma: millions d'années) 1 - Chaîne de la Sioule (5 à 1 Ma) 8 - Causses ( 14 à 2 Ma) **BRGM** 2 - Chaîne des Puys (150 000 à 3500 ans) 9 - Forez (15 à 13 Ma) 10 - Deves (2,7 à 0,6 Ma) 3 - Limagne (15 à 2 Ma) Montpellier 4 - Mont Dore (2,5 à 0,2 Ma) 11 - Velay 14 à 1 Ma) 12 - Vivarais (35 000 à 10 000 ans) 5 - Cézallier (8 à 3 Ma) 6 - Cantal (11 à 3 Ma) 13 - Coirons (8 à 5,5 Ma) Marseille / 7 - Aubrac (9 à 6 Ma) 14 - Escandorgue-100 km Languedoc (3,5 à 0,8 Ma) [22] Nehlig et al., 2010

D'après Nehlig P. Et Traineau H. (1998)







- Ponces
- Éruptions volcaniques explosives
- Friables et de teinte claire
- Grande viscosité du magma : texture fortement vésiculée et richesse en verre volcanique amorphe
- Projections acides : 60 70 % de SiO<sub>2</sub> (trachyte rhyolite dacite)
- Pouzzolanes
- Pyroclastites scoriacées, essentiellement stromboliennes
- De couleur noire ou rouge selon le degré d'oxydation du fer
- Projections basiques (45 52 % de SiO<sub>2</sub>) voire ultra-basiques (< 45%)
- Faible proportion en verre volcanique amorphe (par rapport aux ponces)

Par altération du verre : Zéolites (tufs) et/ou minéraux argileux

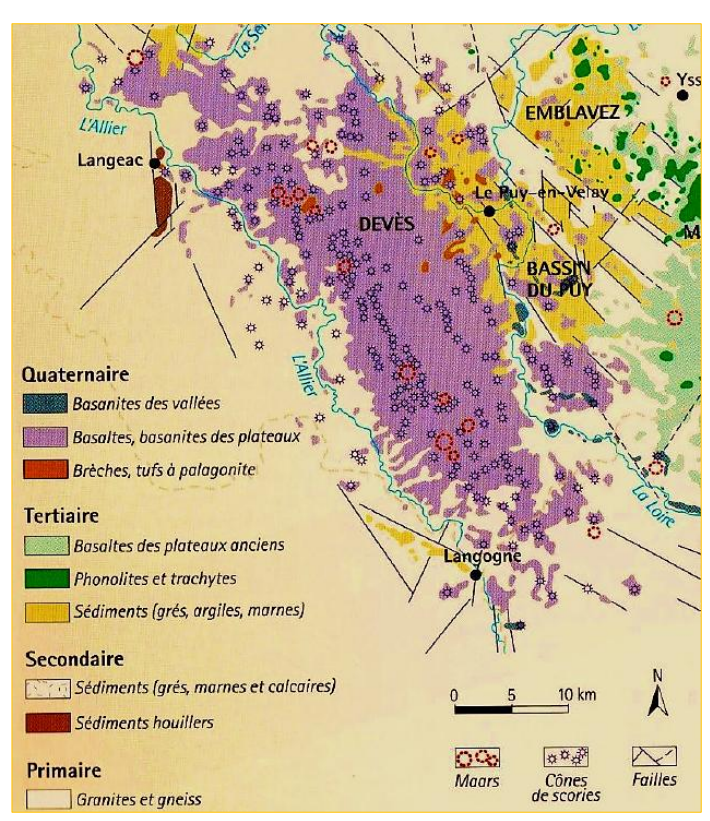




Cœur de cône

Bas de cône

### ☐ Focus sur les pyroclastites basaltiques du Devès



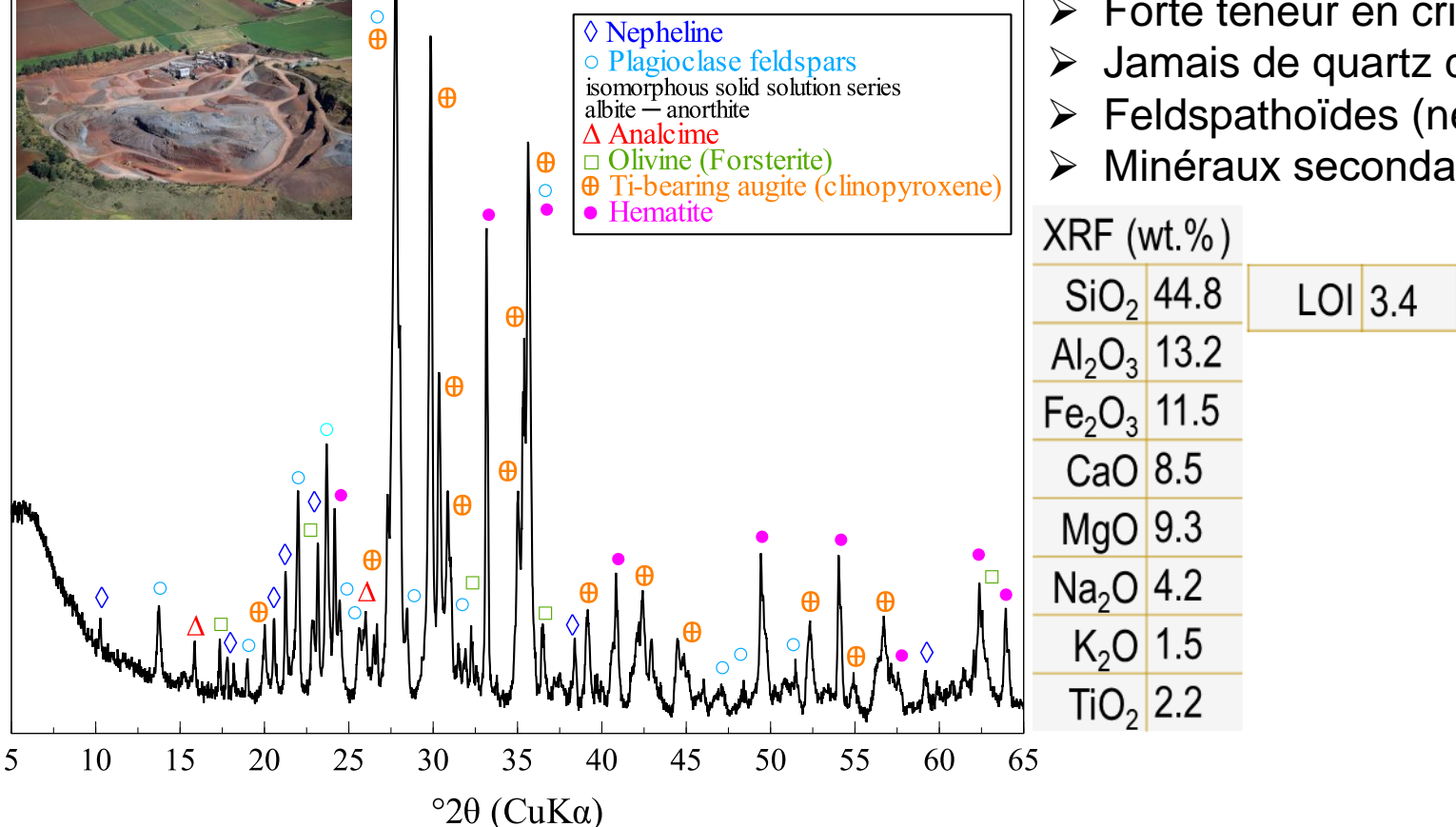
- 150 cônes de scories alignés (armés ou non par des basaltes compacts)
- Activité strombolienne et dans une moindre mesure phréato-magmatique (maars, anneaux de tufs surtseyens)
- Dynamisme faiblement explosif (cône de projections avec cratère sommital)
- Basaltes alcalins fluides sous-saturés en silice, expulsés en surface sous forme de coulées ou de projections (dégagements gazeux et épanchement de lave)
  - → Coulées de lave associées à des formations pyroclastiques :
    - plus ou moins soudées (pyroclastes peu consolidés, tuf)
    - Tufs hyaloclastiques à palagonite ou brèches
  - → Matériaux meubles vulnérables à l'altération météorique

[24] Audubert et al., 2010





#### Pyroclastites basaltiques faiblement consolidées (Devès) :



- Forte teneur en cristallites (pouzzolanes = verre + cristaux)
- Jamais de quartz dans les basaltes alcalins (olivine, pyroxène)
- Feldspathoïdes (néphéline)
- Minéraux secondaires d'origine hydrothermale (analcime)





#### 1778

[25] B. Faujas de St Fond Recherches sur les volcans éteints du Vivarais et du Velay, E.O., 1778

#### 1950 - 1970

Exploitation anarchiste peu réglementée



Création du PNR (Parc Naturel Régional des Volcans d'Auvergne)

1977



- Utilisation plus noble
- Valorisation à forte valeur ajoutée
- Structurer des filières stratégiques associées à une extraction respectueuse du patrimoine géologique

https://www.ina.fr/ina-eclaire-actu/video/caf93027251/les-volcans-d-auvergne 19.03.1972





### □ La pouzzolanicité

Selon l'approche d'Hervé Pichon [26] :

Ensemble des phénomènes chimiques liés aux interactions entre les pouzzolanes et la chaux en solution et des phénomènes mécaniques induits

$$\mathbf{PZ} = \mathbf{f} (E_p, E_c, E_m)$$

E<sub>p</sub> : capacité du matériau à combiner la chaux du milieu (espérance chimique)

E<sub>c</sub>: nature des phases minérales solides néoformées et microstructure associée (expression chimique)

E<sub>m</sub> : expression mécanique (durcissement et résistance mécanique induite)

#### Facteurs d'influence :

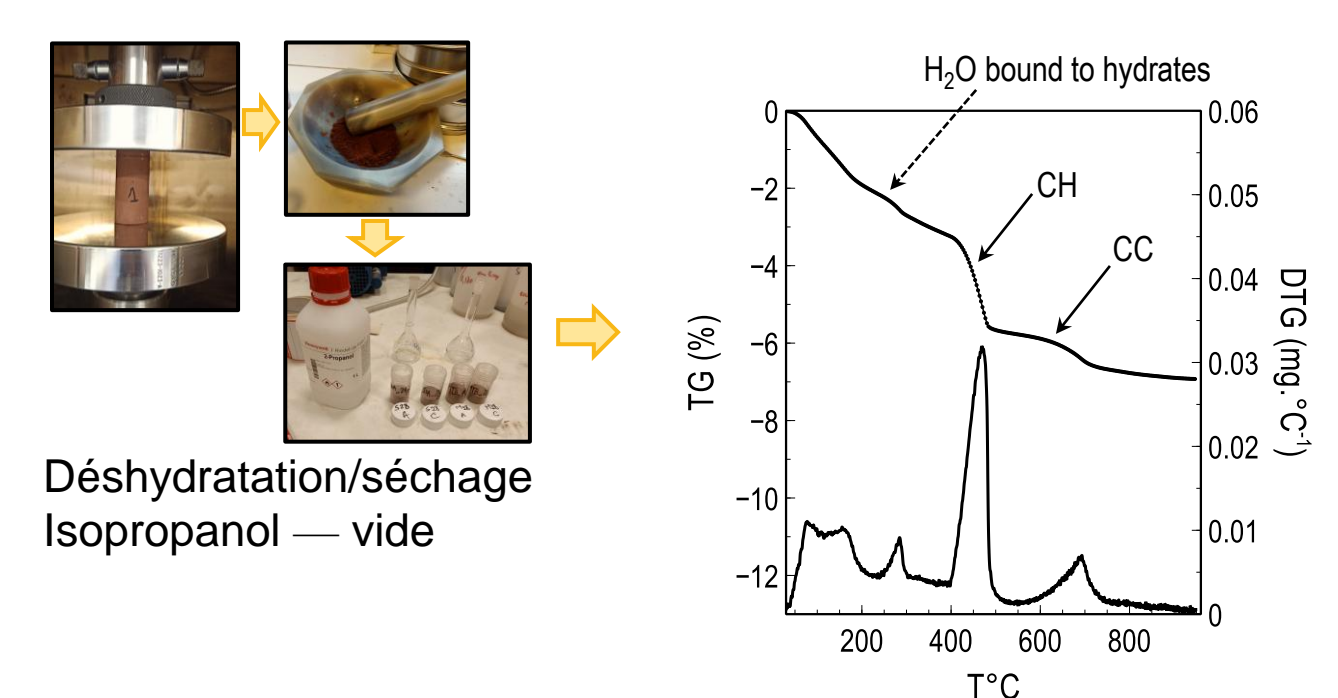
- Finesse de la pouzzolane broyée (taille et surface spécifique)
- Nature lithologique (composition chimique et minéralogique)
- Teneur en chaux (et type)
- %HR de conservation et température de cure (forte énergie d'activation)
- Proportion d'eau résiduelle non consommée par les réactions





#### ☐ Chaux combinée

 $\text{Réaction pouzzolanique : xCa(OH)}_2 + \frac{\text{yAl}_2\text{O}_3 \cdot \text{zSiO}_2}{\text{yAl}_2\text{O}_3 \cdot \text{zSiO}_2} + (\text{n-x})\text{H}_2\text{O} \rightarrow (\text{CaO})_X \cdot (\text{SiO}_2)_Z \cdot (\text{Al}_2\text{O}_3)_Y \cdot (\text{H}_2\text{O})_{\text{n-x}} \cdot (\text{C-A-S-H})_X \cdot (\text{SiO}_2)_Z \cdot (\text{Al}_2\text{O}_3)_Y \cdot (\text{H}_2\text{O}_3)_Y \cdot (\text{H}_2\text{O}_$ 



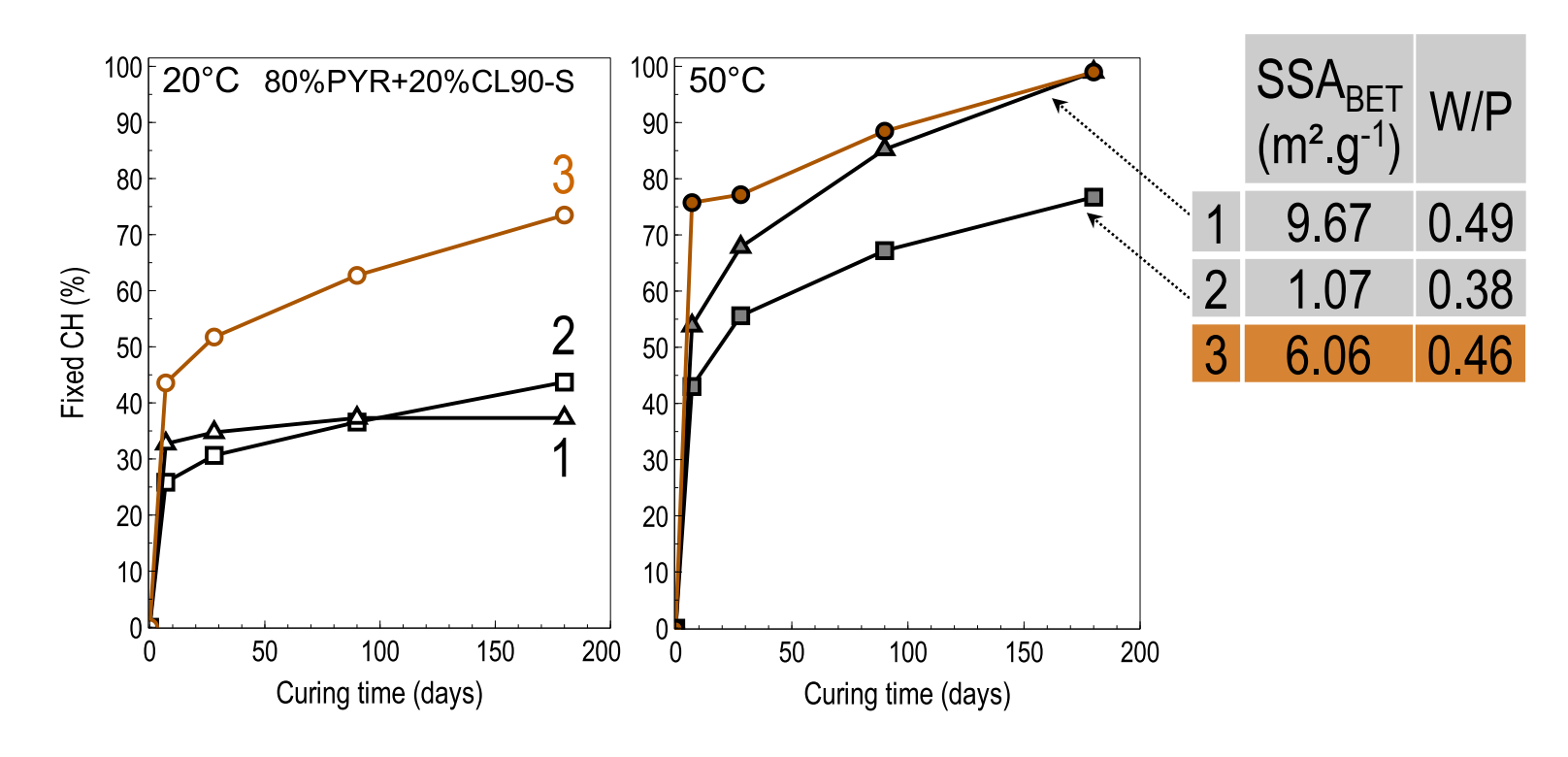
Free Ca(OH)<sub>2</sub> (%) = 
$$\frac{\text{%Ca(OH)}_{2, measured}}{1 - (H_2O_{bound})}$$

Combined Ca(OH)<sub>2</sub>(%)=
$$= \frac{\text{CH}_{i}(\%) - \text{Free Ca(OH)}_{2}(\%) - \text{carbonated CH(\%)}}{\text{CH}_{i}(\%)} \times 100$$





#### Cinétique de consommation de la chaux :



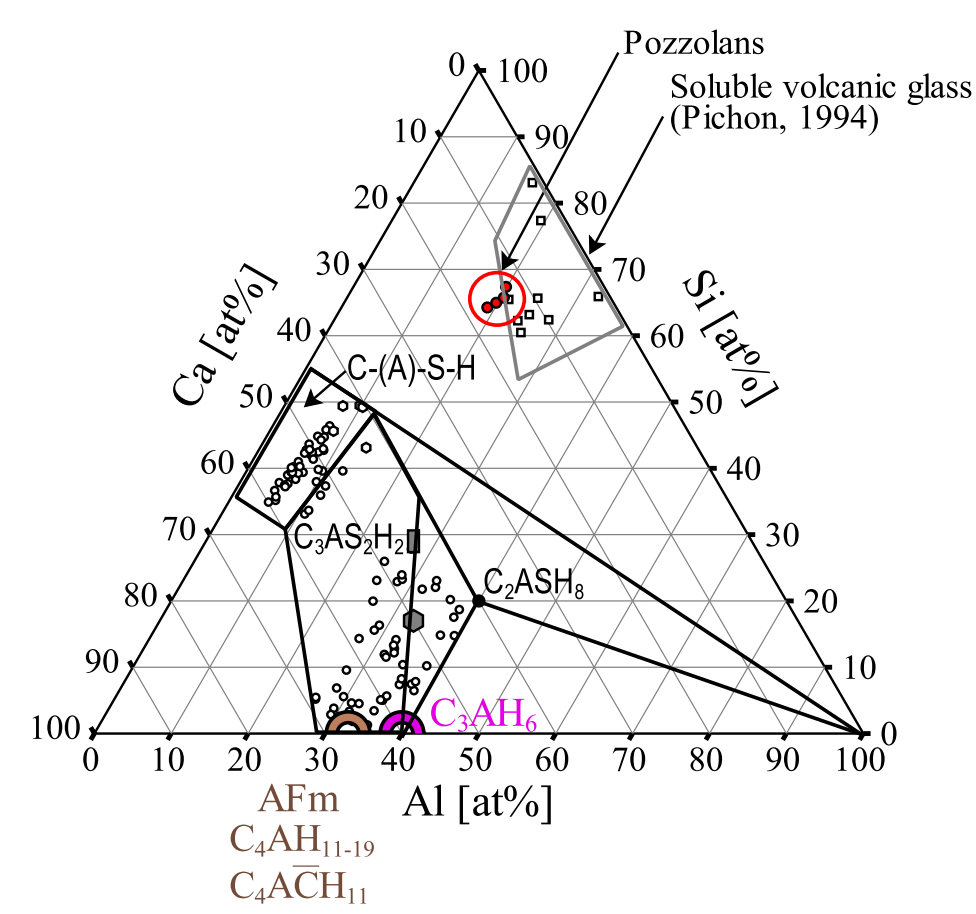
Mineral Component	Lime Reaction (mg CaO/g)
Rhenish trass	
Quartz	43
Feldspar	117
Leucite	90
Analcime	190
Kaolin	34
Glass phase	364
Total	· ;;
Bavarian trass (glass	272
phase only)	
Obsidian glass	176

[27] Ludwig & Schwiete, 1962





#### □ Phases minérales néoformées



Expression chimique (CaO–SiO<sub>2</sub>–Al<sub>2</sub>O<sub>3</sub>–H<sub>2</sub>O) :

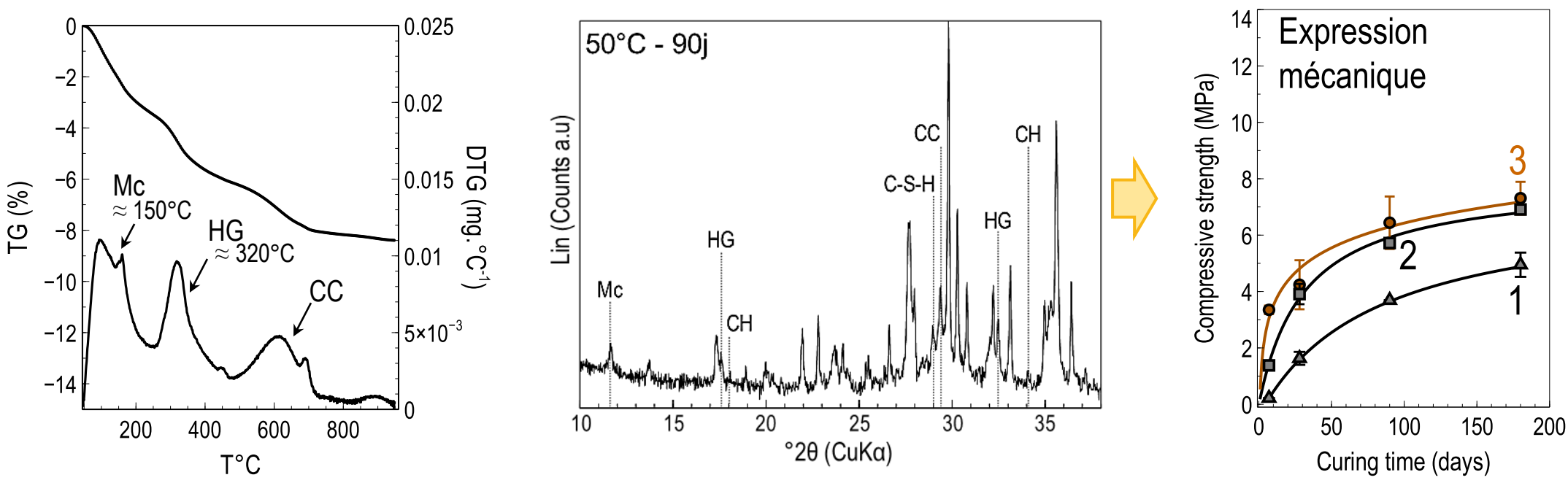
Phases AFm :

 $C_4AH_{11-19}$  ( $C_4AH_{13}$ : OH–AFm peu stable) En présence de  $CO_2$  ou de carbonates  $\Longrightarrow CO_3$ –AFm Hemicarboaluminate ( $C_4A\overline{C}_{0.5}H_{12}$ ) ou monocarboaluminate ( $C_4A\overline{C}_{11}$ )

- Cas de la strätlingite (C<sub>2</sub>ASH<sub>8</sub>): stable à faible Ca/Si (systèmes MK-CH)
- → environnement saturé en humidité pour précipiter et se maintenir
- Série de solutions solides des hydrogénats :  $C_3AS_xH_{6-2x}$  katoïte hibschite ( $C_3AH_6$   $C_3AS_2H_2$ )
- → se forme à des âges avancés ou à température de cure élevée
- C–S–H plus ou moins enrichis en Al de substitution (Al $^{3+} \leftrightarrow$  Si $^{4+}$ )







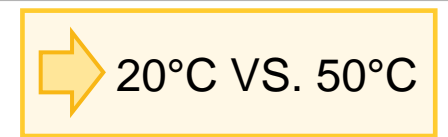
- Pyroclastites basiques hyposiliceuses : rôle important de l'alumine
- Réaction rapide de l'alumine avec la chaux ⇒ AFm HG ⇒ raidissement au jeune âge par remplissage et intercroissance
- Formation des C–(A)–S–H lente et progressive
- Les propriétés liantes peuvent rester faibles malgré de grandes quantités de chaux fixée (espérance chimique)





L'expression mécanique dépend du type de produits néoformés en liaison avec leur texture

PZ = f [chaux combinée  $\rightarrow$  produits néoformés  $\rightarrow$  contribution intrinsèque (matrice cohésive) + densification de la porosité  $\rightarrow$  durcissement]



Dans un système CaO-SiO<sub>2</sub>-Al<sub>2</sub>O<sub>3</sub>-SO<sub>4</sub>-H<sub>2</sub>O:

- Ettringite (C<sub>6</sub>A\overline{S}<sub>3</sub>H<sub>32</sub>) formée les 1<sup>ères</sup> heures
- $SO_4$ —Afm  $\rightarrow$  monosulfoaluminate (Ms) :  $C_4A\overline{S}H_{12}$ Selon  $SO_4^2$ -/Al $_2O_3$  et température  $T^{\circ}C > 45^{\circ}C \Rightarrow$  Stabilité de Ms au détriment de l'ettringite ([28] Damidot & Glasser, 1992)
- → L'ajout de Na<sub>2</sub>SO<sub>4</sub> est connu pour accélérer le durcissement des systèmes pouzzolane—chaux—eau

#### Enjeu granulats bio-sourcés : les conditions de cure

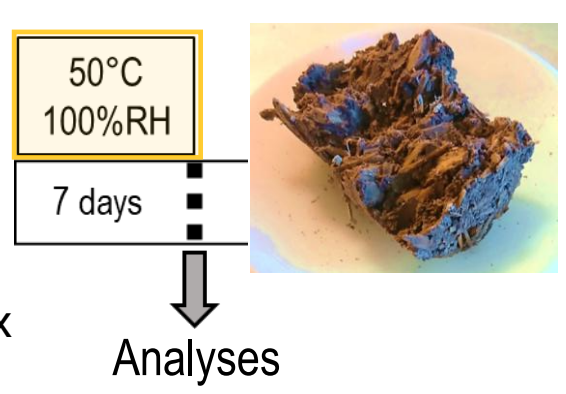
- T°C élevée au jeune âge (relargage de polysaccharides)
- Séchage → carbonatation de la chaux libre voire de certains produits néoformés (C–S–H, AFm, AFt)

#### Expérience:

- 80 % PYR non broyée (0–2mm)
- 20 % CL90-S
- Addition de Na<sub>2</sub>SO<sub>4</sub>

E/L: 0.25 — 0.36

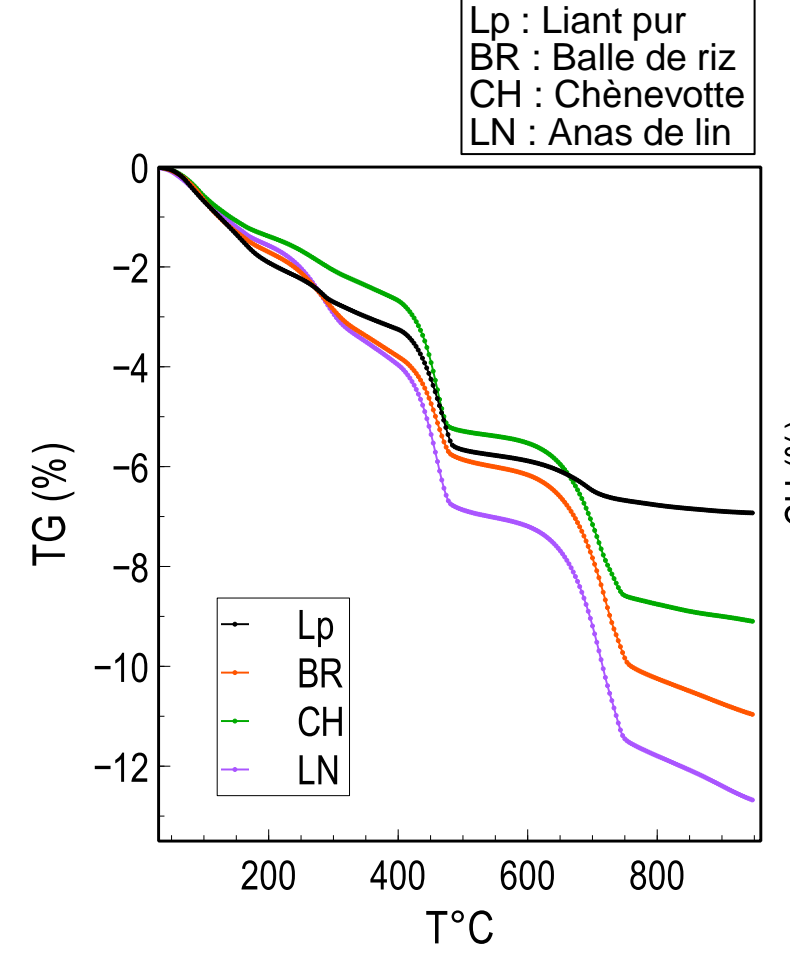
Liant pur et avec granulats végétaux

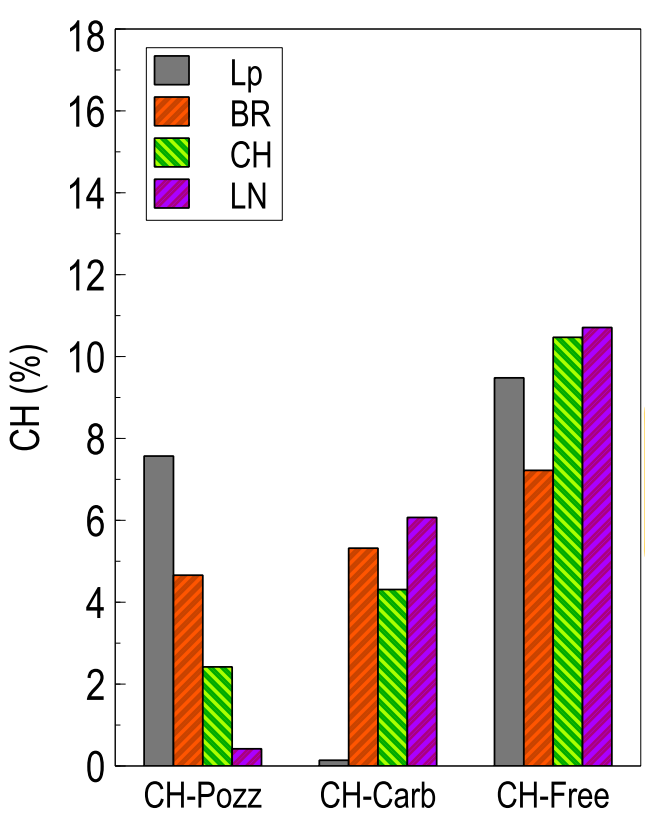






## Granulats biosourcés et pouzzolanicité



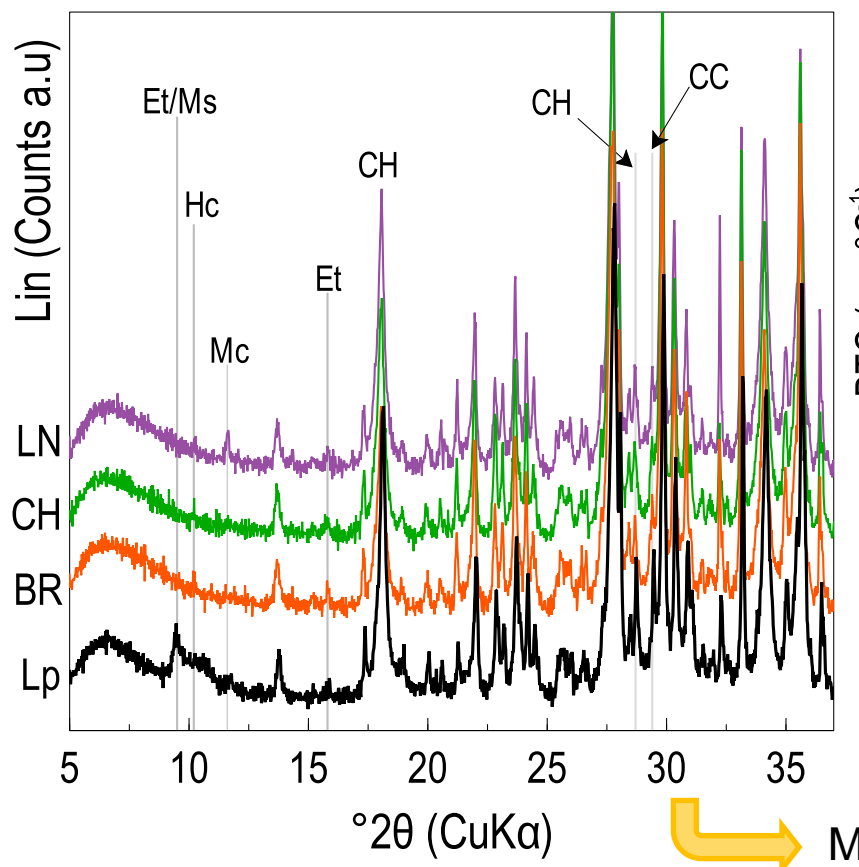


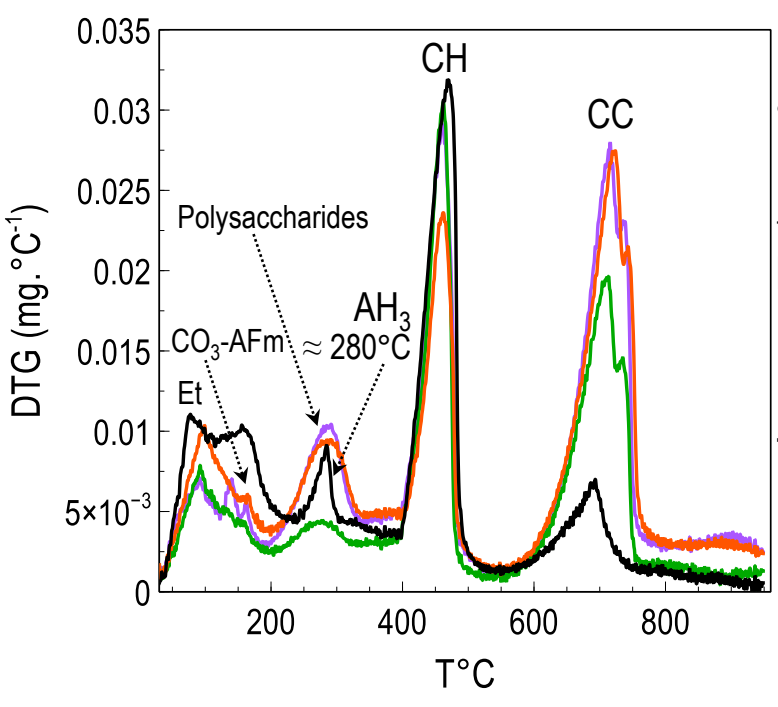
- Calculs nécessaires pour une analyse plus fiable
- $ightharpoonup \Delta m_{220^{\circ}C-320^{\circ}C}$ : polysaccharides (prélèvement ightharpoonup aléatoire)
- Analyses réalisées à la suite de la cure humide favorisant la pouzzolanicité (pas d'air ambiant)
- LIANT + GRANULATS VÉGÉTAUX
  - Carbonatation conséquente
- Moins de chaux combinée avec végétaux
- → Influence possible du monocarboaluminate





## Granulats biosourcés et pouzzolanicité





- Liant pur :
- Présence possible de gibbsite Al(OH)<sub>3</sub>
   Al<sup>3+</sup> libérés par la pouzzolane
- → Formation préférentielle d'ettringite laissant moins de Ca<sup>2+</sup> disponible (local)
- Pas de propriété liante

$$|\{AH_3 - Et/Ms - CH\}|$$

Modification de l'assemblage d'hydrates avec les granulats végétaux (ici autour de  $2\theta = 10^{\circ}$ )

$${CO_3-AFm - CH - CC}$$
 (traces Et)

Matériau volcanique naturellement hétérogène Pour  $2\theta \approx 30^\circ$  : Augite titanifère + CC







# Merci pour votre attention